

Československá společnost pro mechaniku při ČSAV

KOMPOZITNÍ MATERIÁLY

Texty přednášek ze semináře "Kompozitní materiály", pořádaného ČSSM ve spolupráci s pobytkami
CVTS ÚTAM a UT ve dnech 19. 2. a 19. 3. 1981

Pod vědeckou redakcí akademika J. Němce

Vydala
Československá společnost pro mechaniku při ČSAV
Praga, červen 1981

TVORBA A UŽITÍ KOMPOZITNÍCH MATERIÁLŮ

Richard A. Bareš

Je důležité rozumět, co je minérálo kompozitem, jak jej můžeme definovat. Kompozitem dnes nazýváme každý materiálový systém, který je složen z více fází, z nichž alespoň jedna je povápná, s makroskopicky rozpoznatelným rozhraním.

Hlavním určujícím faktorem kompozitu je jeho superstruktura - používáme toto označení k odlišení struktury fází, jež ovlivnuje situaci zejména na vnitřním rozhraní. Mezi fázovou hranicí, a tedy specifický vnitřní povrch, daný celkovou stykovou plochou fází v jednotce objemu, je druhý rozhodující faktor a to kvantitativně i kvalitativně. Navíc přistupuje další faktor - vnitřní napjatost ať už primární (jako vlivem tuhnutí a tvrdnutí) nebo sekundární (vlivem vnějšího namáhání).

Výraz mikrostruktura si ponecháváme pro popis strukturálního uspořádání substance, látky, tedy např. polykrystalu. Navíc se ještě setkáváme s pomocným výrazem infrastruktura, kterým popisujeme strukturální uspořádání jedné fáze v kompozitu po myšleném odstranění všech ostatních fází. Vezmeme-li např. beton, jeho strukturální uspořádání popisuje superstruktura, jež je složena z infrastruktury pojiva (matrix), infrastruktury tekuté fáze a infrastruktury dispergované fáze. Pokud je složeno z řady minerálů, ve vlastní struktuře a každý minerál má vlastní mikrostrukturu. Totéž platí i o každé z řady dispergovaných fází. Stejně i třetí infrastruktura (pory) může být tvořena plynem nebo kapalinou, která může být například roztokem s vlastní strukturou. Při studiu mechanického chování materiálu nás obvykle při strukturální hodnocení nezajímá mikrostruktura látek, s výjimkou hodnocení mezi fázových interakcí.

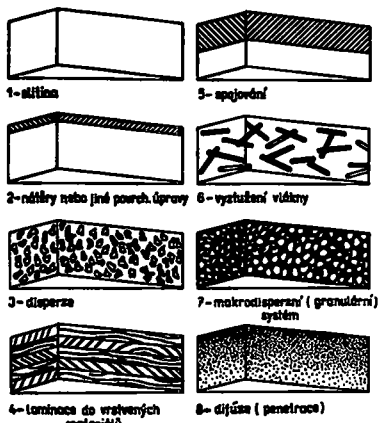
Jasné existuje velký počet superstrukturálních systémů, od soustav s jednou spojitou fází a jednou nebo více dispergovaných fází (tzv. systémy jednostrukturální, k systémům se dvěma nebo více spojitymi fázemi, z nichž každá může obsahovat jednu nebo více dispergovaných fází (tzv. systémy dvou- nebo vícestrukturní). Obvykle vícestrukturnost v tomto smyslu přináší výrazně lepší výsledky ve vlastnostech kompozitu.

Jednotlivé fáze ovlivňují výsledné vlastnosti materiálu jednak svými vlastními charakteristikami, jednak - a to je důležité - jejich vzájemnou interakcí nebo interakcí struktur, jak povápných, tak tekutých. Tyto interakce jsou převážně fyzikální nebo fyzikálně-chemické, ale nejsou vyloučeny ani interakce chemické. Interakce jednotlivých fází a struktur přináší právě nové kvality materiálu, jež nemohou být dosaženy žádnou složkou samostatně. Lze dosáhnout toho, že jsou zdůrazněny výhodné vlastnosti složek a potlačeny jejich nevýhodné vlastnosti podle potřeb navrhovaného prvku nebo konstrukce. Většinou je v kompozitu nepřehlédnutelná interakce s prostředím

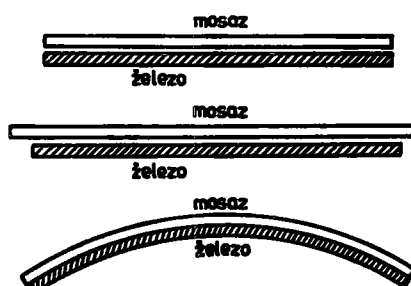
Ing. Richard A. Bareš, CSc. ÚTAM ČSAV,
Vyšehradská 49, 128 49 Praha 2

a souvislost se způsobem výroby a použití, např. mechanického namáhání.

Tyto materiály nejsou nikdy univerzální a jsou navrhovány výhradně pro jisté použití při maximální explaotaci hmoty. To je čini ekonomicky a energeticky výhodné a je základem jejich převahy v konkurenční s homogenními (tradičními) materiály. Několik příkladů kompozitních systémů je ukázáno na obr. 1.



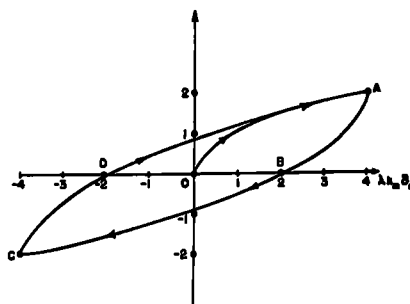
Obr. 1 - Místo přizpůsobování jednoho materiálu inženýrovym potřebám jsou vytvořeny vhodné materiálové systémy řadou kompozitů. Jsou naznačeny různé cesty složení dvojice nebo více materiálů k vytvoření kompozitu. Techniky již dlouho používané jsou vlevo; způsoby napravo jsou relativně nové.



Obr. 2 - Princip kompozitu demonstrovaný bimetalickým páskem používaným v termostatech.

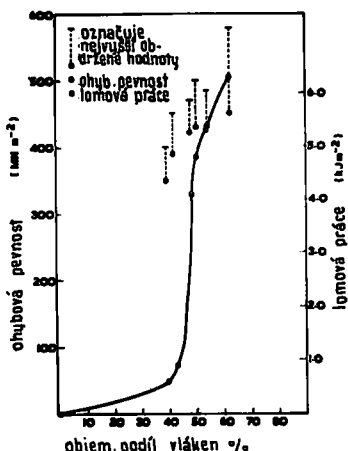
Základním, téměř klasickým příkladem kompozitního působení je známý bimetalický článek. Při změně teploty dvou spojených kovů s různými součiniteli tepelného roztažení dochází vzájemným působením k ohýbání celého prvku (obr. 2).

Předpokládajeme nyní, jako další příklad, jedno vlákno vložené ve směru namáhání do matrix s nižším moduly; předpokládejme dále, že zatížení působí jen na matrix, že obě složky se přetvářejí jen lineárně a že vzájemné spolupůsobení obou částí je dáno pouze adhesivní simulovanou Coulombovým třením. Například se přemění třením na styku od konce vláken s nulovým napětím tak dlouho, dokud tahová přetváření v matrix a vláknu nebudu stejná. Ve střední části kompozitu bude napětí konstantní, obě části se budou přetvářet bez vzájemného posuvu. Pracovní diagram takového systému je na obr. 3 a je vidět, že systém se chová nelineárně, i když je složen z lineárních složek. V jisté fázi při odlehčení začne být vlákno tlačeno, i když je systém ještě tažen, systém zůstává při nulové síle přetvářen. Při snižování tlaku a růstu tahu systém přejde do původního bodu a dalším cyklováním bude opakovat původní křivku. Disipovaná energie je určena plochou hysteresní křivky, přitom část disipační energie na mezikálovém kontaktu je 1 - 3 x větší než disipační energie vlivem vlastností obou materiálů samých. To je další typický, jednoduchý příklad kompozitního působení.

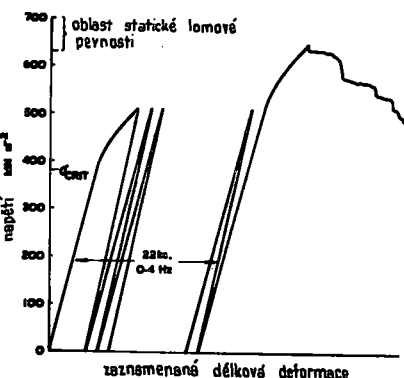


Obr. 3 - Pracovní diagram kompozitního materiálu při cyklickém zatížení tah - tlak.

Jednosměrným využitím křehké matrice, např. skla, ocelovými vlákny (18 % km.) se dosáhne zvýšení pevnosti cca 10 x především jako důsledek vnitřní tlakové napjatosti od výroby vlivem rozdílů součinitelů teplotního roztažnosti. Ještě podstatnější je zvýšení houževnatosti. Například složením 30 % obj. náhradou uspořádaných uhlíkových vláken o průměru 8 mikronů 3 mm dlouhých, se zvětší lomová práce z původních cca 3 J/m^2 na 455 J/m^2 , přičemž nedochází k náhlému zlomu, ale porušení postupuje postupně, s větší deformací. Jiný příklad: při využití borosilikátového skla (Pyrexu) spojitymi vlákny (60 % obj.) bylo prokázáno, že vedle ohromného zvětšení lomové práce až 2 000 x, při zvýšení chybové pevnosti cca 6 x, se významně změnil i pracovní diagram a chování při únavě (obr. 4). Při cyklickém zatěžování nad mez, při kterém vznikají trhliny v matrix, se pevnost podstatně nezměnila po 22 000 cyklech zatížení; pracovní diagram, zakřivený po prvním zatížení (při vzniku trhlin v matrix), zůstával již lineární (obr. 5).



Obr. 4 - Změna chybové pevnosti a lomové práce s obsahem vláken pro Pyrex využitý při běžném využití.



Obr. 5 - Účinek cyklického zatěžování Pyrexu využitého uhlíkovými vláknami na napětí, při kterém je matrix již porušena.

To vše jsou opět typické příklady kompozitního působení: lze tedy získat pevné a přitom houževnaté materiály využívající křehké matrix s nízkým mezním přetvořením křehkými vláknami.

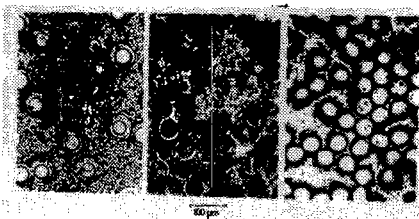
Obdobné kombinování křehké matrix (například syntetické pryskyřice) s některým pružným granulárním plnivem (např. pryží) lze získat materiál pevný a trvale pružný, s vysokým mezním přetvořením. Naopak, tuhé plnivo ve viskozní matrix působí jako vnitřní složka, která omezuje a zpomaluje jednak elastické deformační, hlavně ale viskozní tok spojité struktury.

Jiný, již klasický příklad kompozitního působení je pryž; elastomery po přičném zesítění mají pevnost něco přes 20 kg/cm^2 , avšak po primisíni cca 20 % využívajícího plniva Ø 20-30 mikronů (v daném případě sazí) se zvýší pevnost asi 12 x na 250 kg/cm^2 , a to bez zmeny mezního přetvoření. Hlavní příčinou tohoto účinku je dissipace energie na meziploše plnivo-elastomer; posunutí jednotlivých řetězců po povrchu sazí (tzw. polyblivá absorbcie) umožnuje, že do akce se dostanou postupně všechny nebo většina řetězců v jednotce průřezu na rozdíl od neplněného elastomeru, kde dochází k postupnému přetrhávání nejvíce namáhaných řetězců, jež jsou vždy různé délky. Tento mechanismus vysvětluje i tzv. napěťové měkknutí, tj., že materiál se stává měkkčí po jednom nebo více napětích (řetězce jsou již posunuty, tedy uvolněny). Plnivo samo zde nepřináší přímo nějaký podstatný příspěvek svou pevností nebo tuhostí.

Těchto několika příkladů kompozitního působení ukazuje, že úloha jednotlivých složek v systému může být velice rozličná.

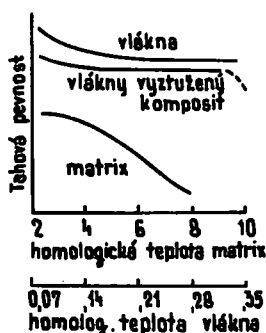
Tak například pro dosažení vysoké pevnosti je žádána vysoká soudržnost fází, pro dosažení vysoké houževnatosti stačí v důsledku disipace energie a tlumení na mezfázových diskontinuitách i slabá soudržnost. Velmi pevná a vysokomodulová vlákna přináší pevnost a tuhost, jsou-li v dostatečné tvárné matrix, nízkomodulová vlákna s vysokým protážením přináší vysokou absorbci energie a rázovou pevnost. V některém případě je prospěšná existence mezivrstvy mezi fázemi, v jiném je vyloženě škodlivá.

Kolem okrajů inkluze existuje vždy koncentrace napětí. Proto obvykle hranice fází jsou v pružném oboru nejslabším místem a snahou je, aby hranice byla podajnější než tužší z obou sousedních fází. Někdy je hranice ovlivněna tendencí obou složek reagovat chemicky a tvorit mezfázi. Například hliník - ocel vytváří mezikovovou fázi Al_2Fe , která je křehká a její tvorba je třeba zabránit vhodným technologickým postupem (obr. 6).^x ^y Čím temnější je tato zona, tím lepší je lomová houževnatost.



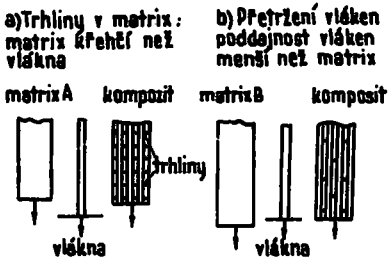
Obr. 6 - Reakce mezi kovovými vlákny a hliníkovou matrix a vytváření Al_2Fe - zon, které mohou zlepšit nebo zhoršit soudržnost.

Kontrola rozvoje trhlin může být považována za jeden z hlavních přínosů kompozitů. Tak například kompozitům využitým vlákny přináší houževnatost vedle samotné pevnosti vláken především dva mechanismy absorbujići energii, spojené s vývojem trhlin. Několik mechanismů porušování je na obr. 8 a, 8 b, 9 a 10 (poslední dva na dalších stranách). Energie je absorbována



Jaké účinky přináší příměs různých plnív do polymerní matrice ukazuje tabulka (obr. 7 - viz další strana). Důležitá je především tvarová stálost, zvláště během výroby, což dává možnost výroby přesnějších výrobků bez následného opracování, zvýšení tuhosti a tím vším (včetně snížení množství polymerní fáze) snížení ceny. Zvláště výhodná je kombinace dvou nebo tří druhů plnív.

Jiná důležitá oblast je systém termoplast - plyn k vytváření různých typů tzv. párových, lehčených systémů, zejména v kombinaci s hutným materiálem, tedy vytváření tzv. hybridních kompozitů, jež jsou v poslední době předmětem zvýšeného zájmu, tedy vlastně soustav kompozitů s různými vlastnostmi, většinou s jejich plynulým přechodem (opět klasické příklady hybridních kompozitů poskytuje příroda - např. dřevo s větší přetrvávatelností na okraji než uprostřed průseku apod.).



Obr. 8 b - Schematické srovnání takové pevnosti Obr. 8 a - Poměr mezního přetvoření vláken a kompozitu a jeho složek jako funkce homologické teploty.

Účinek plnív na vlastnosti polymerů

	Chemická odolnost	Tepelná odolnost	Elektrický izolační odpor	Rážová pevnost	Tahová pevnost	Rozměrová stabilita	Tuhost	Tvrdost	Klučest	Elektrická vodivost	Teplotní vodivost	Odolnost k vlněnosti	Zpracovatelnost	Doporučeno pro užití v a
Kysličník hlinitý, destičkovitý	x	x	x			x						x	x	S/P
Kysličník hlinitý, trihydrát			x	x								x	x	S/P
Jemná částice												x	x	S/P
Hliníkový prach												x	x	S/P
Asbest	x	x	x	x	x	x	x	x	x	x	x	x	x	S/P
Bronz												x	x	S/P
Uhličitan vápenatý (vápenec) ^b	x	x	x	x	x	x	x	x	x	x	x	x	x	S/P
Meta-křemičitan vápenatý												x	x	S/P
Křemičitan vápenatý												x	x	S/P
Sazek												x	x	S/P
Uhliková vlákna												x	x	S/P
Celuloza												x	x	S/P
Alfa celulóza												x	x	S/P
Práškové uhlí												x	x	S
Bavlna (vyluhovaná sekána vlákna)	x	x	x	x	x	x	x	x	x	x	x	x	x	S
Skleněná vlákna	x	x	x	x	x	x	x	x	x	x	x	x	x	S/S/P
Jedlová kůra												x	x	S/P
Grafít	x	x	x	x	x	x	x	x	x	x	x	x	x	S/P
Juta												x	x	S
Kaolin	x	x	x	x	x	x	x	x	x	x	x	x	x	S/P
Kaolin (vypálený)	x	x	x	x	x	x	x	x	x	x	x	x	x	S/P
Slída	x	x	x	x	x	x	x	x	x	x	x	x	x	S/P
Sírmik molybdeničitý												x	x	S/P
Nylon (vyluhovaná sekána vlákna)	x	x	x	x	x	x	x	x	x	x	x	x	x	S/P
Orlon												x	x	S/P
Rayon												x	x	S
Kysličník křemičitý	x	x	x	x	x	x	x	x	x	x	x	x	x	S/P
Sisáková vlákna												x	x	S/P
TFE-Fluorokarbon												x	x	S/P
Mastek	x	x	x	x	x	x	x	x	x	x	x	x	x	S/P
Dřevitá moučka	x	x	x	x	x	x	x	x	x	x	x	x	x	S

x Vlastnost zlepšena

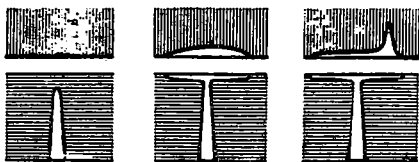
■ Symboly : P - termoplast

S - termoset

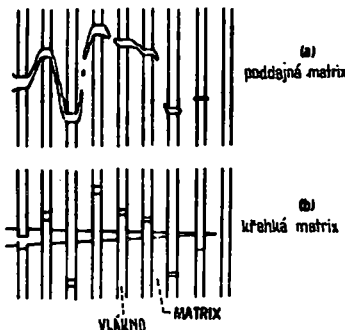
b V termosetech je hlavní funkce zlepšit výhled

c Hlavní funkce je zvýšit odolnost k UV záření

Obr. 7



Obr. 9 - Model rozvoje trhliny



Obr. 10 - Rozvoj trhliny v kompozitech s matrix ruzne podajnosti

za prvé vytahováním vláken z matrix, za druhé oddělováním vláken od matrix jako důsledek stáčení trhlin podél styku. Navíc účinkem rozptýlení pevných jednotek systému do vláken a jejich spolupráce s matrix je ojedinělé porušení vláken nepodstatné pro únosnost systému. Matrix plní ve dle toho důležitou úlohu ochrany výztuže od vnějšího prostředí a povrchového poškození.

Rovněž postupnou delaminaci vícevrstvých vláknitých systémů (např. prepregů) je výborně absorbovaná energie, čímž se dosahuje vysoké odolnosti nárazům náboje, kamene apod. (obr. 11).

Důležitá je relativní necitlivost kompozitu k povrchovému poškození; například u kompozitu grafit - polyester je snížení pevnosti jen cca 15 %. Význam na únosnost při únavě má i druh povrchové úpravy kompozitu.

V některých kompozitech převažuje vliv anisotropie, v jiných strukturnost, i když zákony spolupráce v kompozitech platí obecně, jak v partikulárních, tak vláknitých systémech.

Důležitý je vzájemný poměr součinitelů teplotní roztážnosti složek. Někdy může být prospěšný velký rozdíl ke vněšení výhodného předpáti, jindy je vhodný co nejmenší rozdíl.

U kompozitů s rozptýlenou vláknitou výztuží musí výztuž, aby byla užitečná, mít tvárový soudinatel (délka : průměr) nad minimem, tj. nad 50 - 100 (obr. 12, 13 - viz další strana).

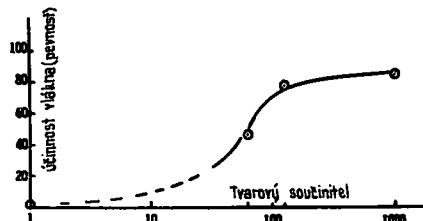
Můžeme se nyní ptát, které jsou hlavní parametry, na nichž závisí vlastnosti kompozitu. Jsou to především:

- vlastnosti fází (včetně tekuté fáze - Pory), tj. mechanické vlastnosti a jejich poměr (pevnost, modul, Poisson, prac. diagram, mazní přetváření) anisotropie vlastnosti jednotlivých fází,

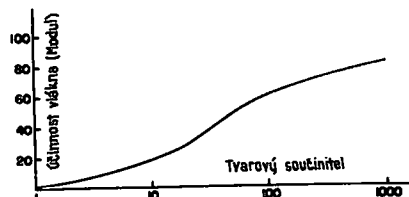
Obr. 11 - Amplituda namáhání proti počtu cyklů do porušení při tah - tlak ohýbu pro grafit - polyester kompozit bez a s povrchovým poškozením úderem kamene a se dvěma ochrannými povlaky. Stojí za povědomím, že nad 10^5 cyklů vzorek i s tvrdým epoxidovým povlakem byl horší než vzorek bez povlaku.

- objemové zastoupení fází a jejich geometrické uspořádání v systému včetně pórů, tj. například

množství, orientace a průměrné vzdálenosti dispergované fáze,

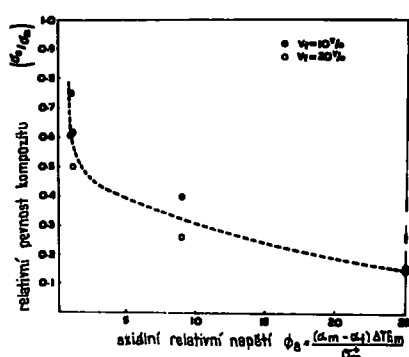


Obr. 12 - Účinnost vlákna (na pevnost) proti tvarovému součiniteli pro různosměrně orientovaná nespojitá vlákna v e-poxidové matrix



Obr. 13 - Účinnost vlákna (na modul pružnosti) proti tvarovému součiniteli pro různosměrně orientovaná nespojitá vlákna v epoxidované matrix

- **interakce jednotlivých fází a vlastnosti styku**, tedy schopnost přenosu zatížení z matrix do využívajících čistic a naopak, jinými slovy soudržnost na kontaktu fází. Soudržnost závisí do značné míry i na poměru součinitelů teplotní rozařnosti: je-li rozdíl ($\alpha_m - \alpha_f$) pozitivní, je matrix tažena, je-li negativní, má vložená fáze snahu oddlit se od matrix při snížení teploty. Významný vliv mají viskoelastické vlastnosti styku i anisotropie vložených častic (např. součinitel teplotní rozařnosti); uhlíková vlákna mají například součinitel teplotní rozařnosti ve směru vláken $\alpha_f = 0$, kolmo na směr $\alpha_f = 8 \cdot 10^{-7}$ C.
- **interakce s okolním prostředím**.
- **časové faktory**, zahrnující historii vzniku materiálu i fází, technologii výroby (např. teplotu solidifikace, tj. stavu, od kterého již vznikají napětí od změny teploty, zmrzlána teplotní tahová napětí v matrix (obr. 14), proměna modulu s teplotou), technologie zpracování, rychlosť změny vnějšího namáhání, okolních podmínek atd.



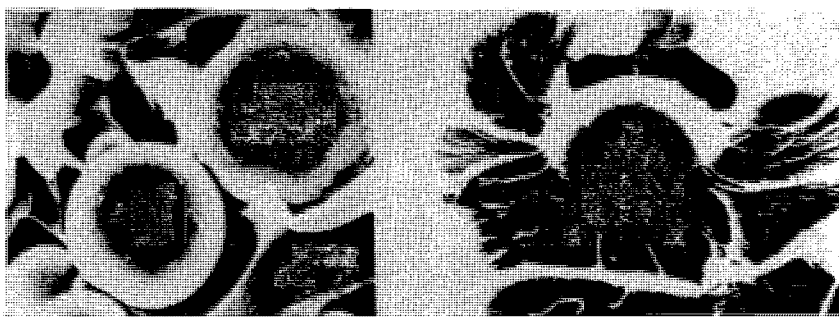
Obr. 14 - Pevnost kompozitů s náhodně orientovanými nespojitymi vlákny jako funkce pozdního teplotního relativního napětí.

ϕ_a - ukazuje snížení pevnosti kompozitu s růstem rodového napětí
 ΔT - snížení teploty pod bodem zgelování při chladnutí ve výrobě
 E_m - modul matrix při konečné teplotě
 α_m, α_f - průměrný součinitel teplotní rozařnosti v daném oboru teplot.

Samozřejmě, že při bližším zkoumání zjistíme, že určité vlastnosti závisí na dalších parametrech, například rázová pevnost na efektivní délce vláken, na průměru vláken, na smykové pevnosti matrix, ale také na uspořádání zkoušky, velikosti tělesa a na typu vláken.

Velikost koncentrace napětí na hranicích závisí na objemovém poměru fází, poměru modulů, Poissonových součinitelů, způsobu vnějšího namáhání. Tloušťka obalové vrstvy závisí na teplotě

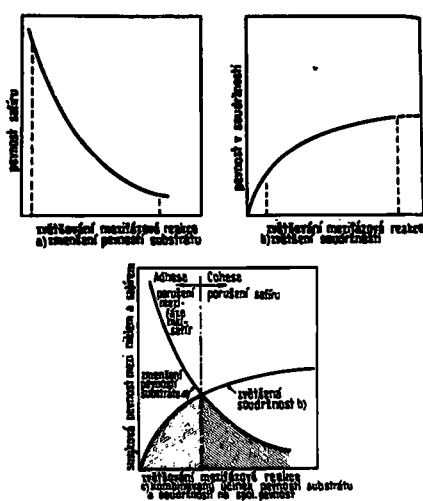
a viskozitě matrix, tlaku, povrchových vlastnostech inklusí, společné adhesi a povrchovém napětí matrix. Pokrytím inklusí některým sítujícím činidlem se výrazně sníží stykové napětí fází a zvýší soudržnost - vlastné zvýšení kompatibility (obr. 15, 16). Upravou mezičárové re-



Obr. 15 - Povrch skleněných kuliček v epoxi- dové matrix bez sítujícího činitele.

Obr. 16 - Povrch skleněných kuliček v epoxi- dové matrix se sítujícím činitelem.

akce obvykle dojde vedle zvýšení soudržnosti současně ke snížení pevnosti substrátu. Je proto nezbytné omezit chemické reakce na mezipovrchu fází tak, aby se získalo maximální zvýšení soudržnosti při minimálním znehodnocení substrátu (obr. 17).



Obr. 17 - Schematické znázornění účinku mezifázových reakcí na pevnost v soudržnosti systému níki - safír.

Z uvedeného vidíme, že s kompozity souvisejí celá řada vědeckých disciplín: metalurgie, keramika, technologie skla, technologie polymerů a jiné materiálové technologie, chemie, fyzikální chemie, chemie polymerů, fyzika, mechanika, matematika, biologie. Je jen přirozené, že každá věda přináší svoje přístupy, svoje hlediska, svoje realizační úrovně, svoji terminologii. A tak přesto, že kompozity studuje mnoho rozličných pracovišť, je mnohdy obtížné se navzájem dorozumět. Primárním cílem by mělo být stanovit zobecnění, která jsou platná pro různé typy kompozitních materiálů. Protože jde v podstatě o přetvářející se systémy, v nichž vlastnosti materiálu jsou vázány na jeho strukturu, může takový sjednocující pohled dát patrně pouze mechanika, i když přínosy ostatních vědních disciplín jsou přitom nepostradatelné.

Vnější charakteristiky kompozitů, se kterými má smysl pracovat, jsou především specifické vlastnosti, jako specifická pevnost (poměr pevnosti k hmotnosti), specifický modul (poměr modulu k hmotnosti), specifický vnitřní povrch (poměr kontaktních povrchů k objemu dispergovaných částic) atd.

Rozdělení kompozitů je možné z různých hledisek, např. z hlediska materiálového (podle matrix) - kompozity kovové, polymerní, keramické, nebo z hlediska technologického (výrobního), nebo z hlediska mechanického, které je základní pro popis vlastností a chování kompozitu.

Na první pohled se zdá, že nějaké rozdílení u tak rozmanitých systémů je jen těžko možné. Avšak hlubší pohled do mechanismu přetváření a porušování jednotlivých struktur ukázal, že takové rozdílení je nejen možné, ale zcela nezbytné, chcete-li se dospát ke zvládnutí cílené tvorby a předpovědi vlastnosti kompozitu.

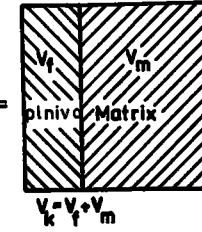
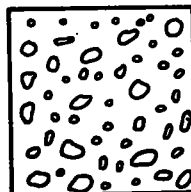
Základní hledisko je, zda-li do matrix vložena druhá (dispergovaná) fáze je **agregovaná**, tj. není ve vzájemném přímém kontaktu, nevytváří vlastní strukturu, je v některém směru fázově nespojité, či je-li naopak **agregovaná**, tj. jednotlivé její součásti jsou v přímém kontaktu, vytváří případně vlastní strukturu a je fázově spojité.

Existuje celá řada různých soustav úplně vyplňujících daný prostor, od čisté matrix (tedy homogenního systému) - obr. 18 - přes rozptýlené částice (obr. 19) až k systému s dispergovalou

Obr. 18 - 23 - Základní modely kompozitních systémů:

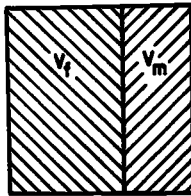
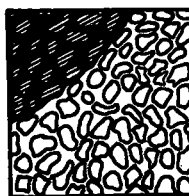


$$V_k = V_m$$

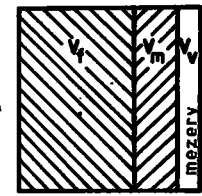
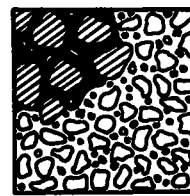


$$V_k = V_f + V_m$$

Obr. 18 - První mezní systém (pouze matrix) Obr. 19 - Kompozit prvního typu



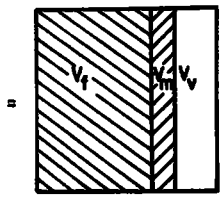
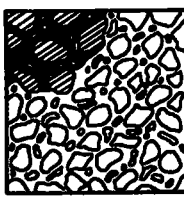
$$V_k = V_f + V_m$$



$$V_k = V_f + V_m + V_v$$

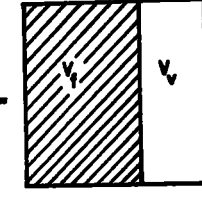
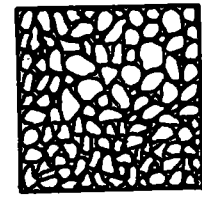
Obr. 20 - Druhý mezní systém oddělující kompozity prvého a druhého typu

Obr. 21 - Kompozit druhého typu (nespojité tekutá fáze)



$$V_k = V_f + V_m + V_v$$

Obr. 22 - Kompozit třetího typu (spojité tekutá fáze)



$$V_k = V_f + V_v$$

Obr. 23 - Třetí mezní systém (bez matrix)

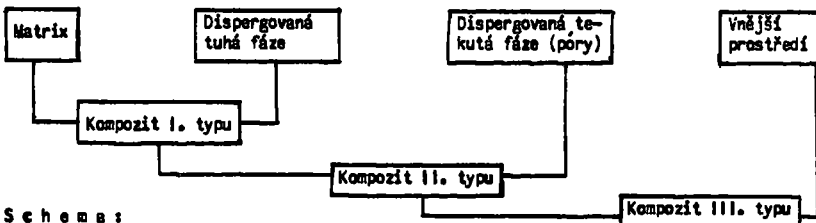
nou fází v nejhutnějším možném uspořádání (obr. 20), u nichž určující složkou vlastnosti je matrix. Celou tuto skupinu soustav lze označit - z mechanického hlediska - za kompozity I. typu. Experimentální výzkum takových soustav, velmi široký a rozmanitý ve svém objemu, dal výsledky různorodé a byly z nich vyvozeny závěry mnohdy i protichůdné. Nejčastěji byl sledován vliv zvyšujícího se množství dispergované fáze v matrix na pevnost.

Přesčítání otázky pevnosti (obvykle tahové) při posuzování kompozitů je sice časté, ale obecně škodlivé, často zcestné. Závěry o hodnotě materiálu posuzovaného z hlediska krátkodobé pevnosti mohou být např. po několika cyklech střídání teplot zcela opačné. Kromě toho není mnohdy rozhodující, zda krátkodobá pevnost je např. o 30 % nižší nebo vyšší, ale jaké jsou jiné, například přetrvávání nebo fyzikální vlastnosti výsledného materiálu. Jde o to, jak vzniklý systém je schopen disipovat dodanou energii, utlumit nebo lokalizovat mikroporosity, zabránit jejich šíření atd.

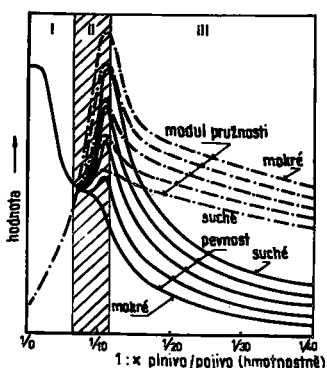
Bylo již řečeno, a nyní zdůrazňuji, že kompozity I. typu vyplňují zcela bez zbytku prostor, který zaujímají. Od konečného (hraničního) kompozitu I. typu nelze již měnit objem dispergované fáze v daném tělese (dispergovaná fáze zůstává agragována) a další změna poměru objemu obou tuhých fází je možná pouze redukcí matrix, na jejíž místo vstupuje do systému fáze třetí, tekutá (obr. 21). V matrix vznikají uzavřené pory a celkový poměr objemu pevné fáze k objemu tělesa se zmenšuje. Vzniká systém nejméně trifázový, jehož veškeré vlastnosti se diametrálně počítají od systémů předchozích. Kompozity tohoto druhu tvoří další samostatnou skupinu, kterou můžeme označit jako kompozity II. typu. Teoreticky končí tato oblast systémem, u kterého se třetí, tekutá fáze spojí a vytvoří samostatnou infrastrukturu, čímž systém je kontinuálně spojen s vnějším prostředím (obr. 22). Prakticky ovšem tato hranice nemůže být ostrá, neboť ke spojování jednotlivých uzavřených pórů do spojitych kanálků dochází postupně. Pevná fáze na rozdíl od I. typu v těchto systémech nezaujímá celý prostor vymezený materiálem. Je-li tekutá fáze ve vakancích matrix plnná, je snadno stlačitelná, je-li kapalná, je zcela nestlačitelná. Primární vnitřní napjatost systému, stejně jako sekundární vnitřní napjatost je se vznikem vakancí jiná, jiná je disipace energie atd. Materiál případě zaplněný pory plnnou fází (což je nejobvyklejší) má větší možnost se vnitřně přetvářet bez vzniku mikropor a vzniklé mikroporosity jsou brzo lokalizovány; disipace energie je výraznější. Vnější projevem těchto vlivů je např. změna pevnosti, jak krátkodobých, tak zejména dlouhodobých, zvýšení rázové pevnosti a únavové pevnosti, zvýšení životnosti a snížení citlivosti ke změnám vnějších podmínek (např. teploty). V parametrech, určujících výsledné vlastnosti, se kromě činitelů, které se uplatňují u kompozitů I. typu (poměru objemu a vlastností tuhých fází, specifické plochy dispergované fáze) objevuje další parametr: poměr tekuté a pevné fáze.

Jakmile půrovitost systému se stane spojito (aniž by se měnilo uspořádání dispergované fáze, jež zůstává trvale v agregovaném stavu jako na počátku kompozitů II. typu), uplatní se další veličina (tato rozhodující): vnitřní interakce kompozitu s vnějším prostředím. To opět rozhodujícím způsobem mění chování systému, jež je charakteristické pro kompozity III. typu (obr. 22). Dalším nezbytným parametrem, bez něhož se popis těchto systémů neobejdete, je tedy vnější prostředí. Pevná fáze zaujímá stále menší část celkového (vnějšího) objemu kompozitu, ubývá matrix až do okamžiku, kdy se první struktura matrix rozpadá a materiál se stává sypkým, nesoudržným (obr. 23).

Schematicky můžeme znázornit základní rozdělení kompozitů podle dalšího obrázku; teprve bude-li jejich výzkum, popis i experimentální sledování podle toho děleny, máme naději dobrat se jednoznačných výsledků.

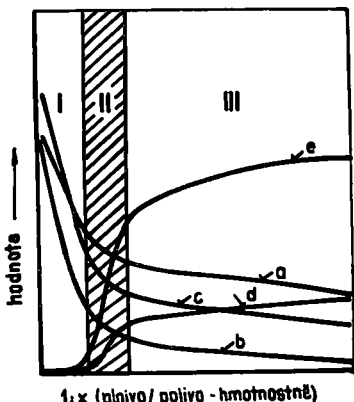


Pozorujeme-li vlastnosti kompozitů různého typu (např. v závislosti na změně poměru hmotností matrix a dispergované fáze (plniva) v jednotce objemu kompozitu, můžeme jednoznačně nalézt markantní značku v oblasti druhého, někdy též zvaného přechodového typu (obr. 24, 25).



Obr. 24 - Průběh pevnosti a modulu pružnosti různých kompozitů

whiskery, tj. vysoce pevné jednotlivé krystaly s poměrem délky k průměru nad 20 - 25; ve formě whisker bylo již připraveno více než sto materiálů z kovů oxidů, karbidů, halidů, organických sloučenin atd., nejčastěji je dodáván silikon-karbíd a aluminium-oxid (viz obr. 26, 27, 27 a, 28, 29).



Obr. 25 - Průběh některých fyzikálních veličin různých kompozitů:
a) součinitel teplot.-roztážn.
b) smrštění
c) mezní přetvoření
d) vlnkost. součinitel
e) porosita

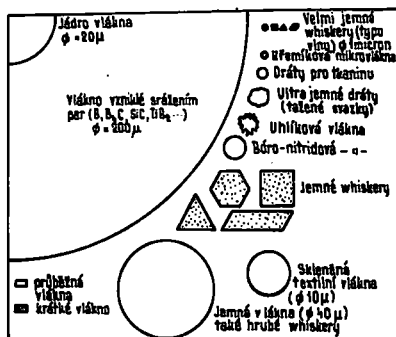
Každý z uvedených tří typů kompozitů může být quasiisotropní nebo anisotropní, i když převážnou měrou anisotropní kompozita mají praktický smysl jen u typu I.

Každý z uvedených tří typů kompozitů může být složen ze dvou nebo více povrchových fází, a u každého z nich může být tvořen jednou nebo více spojitými strukturami, tedy strukturami, jež jsou schopny samostatné existence.

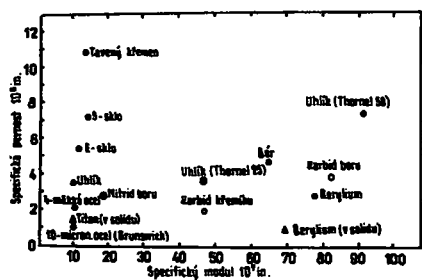
Podíváme se ještě na několik příkladů konkrétních kompozitů. Pro matrix lze použít téměř všechny kovy (magnesium, ocel, litium, hliník, měď, různé slitiny), keramické a skelné materiály (alkalické sklo, borosilikátové sklo, lithium-aluminio-silikátové sklo), plasty (termoplasty i termosety).

Pro vlákna lze opět použít celou řadu materiálů, z nichž již běžně vyráběná a dodávaná jsou vlákna skelná, beryliová, uhlíková oceli, z maragingové oceli, wolframová, grafitová, boronová, atd., v poslední době i organická (PRD-49, Kevlar), nebo

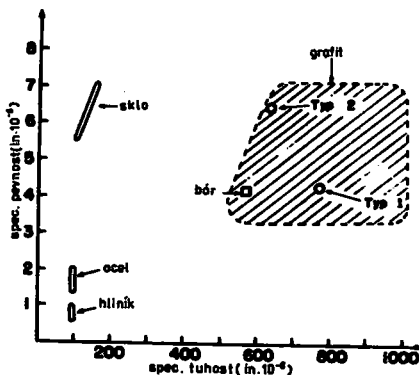
silikonová (silikon-karbíd a aluminium-oxid).



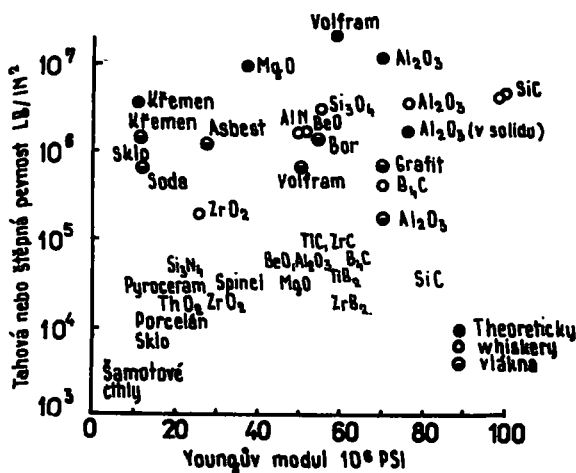
Obr. 26 - Relativní průřezová plocha a tvar některých vláknitých výztuží



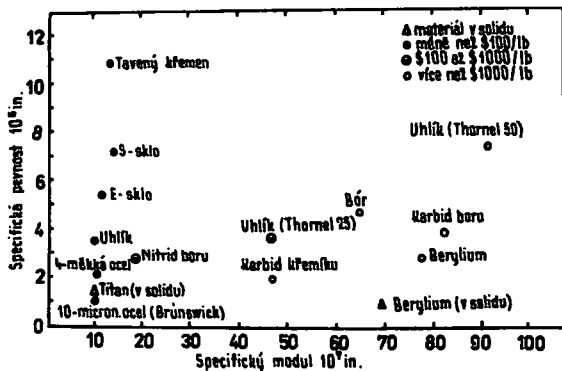
Obr. 27 - Závislost specifické pevnosti a modulu pro experimentální a vyráběná spojité vlákna



Obr. 29 - Relativní charakteristiky vláken

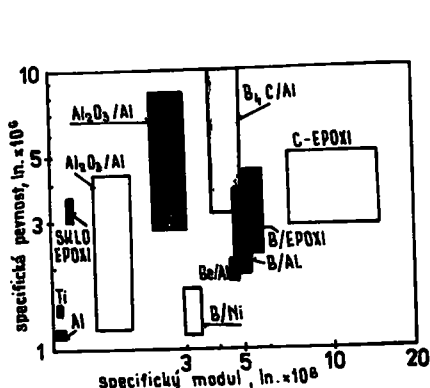


Obr. 27 a - Reprezentativní vztahy pevnosti a modulů pružnosti různých keramických materiálů ve formě polykryystalického solidu vlákna a whiskeru

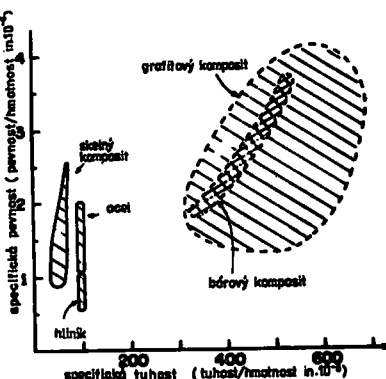


Obr. 28 - Cenové relace různých spojitých vláken

Kombinace matrix, vláken a partikulárních příměsí je rozsáhlá a zahrnuje nesmírné množství kombinací, např. kompozity WC-Co, WC-(Fe-17Ni-1Co), WC-FeNi (vysokopevnostní slitiny ocelí), C-Al slitina, boron-epoxy, uhlík(karbon)-epoxy, GRP (s bezalkoholickým sklem s matricí epoxy, polyester, fenolickou, silikonovou, polyamidy atd. (obr. 30, 31).



Obr. 30 - Srovnání konstrukčních materiálů

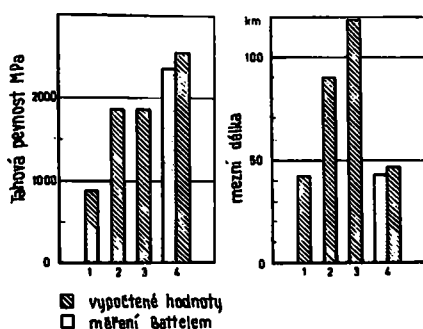


Obr. 31 - Relativní charakteristiky kompozitů s organickou matricí

Kompozity lze vytvářet také ve formě slitiny s usměrněným eutektikem, tzv. cermety, např. z transformovaného austenitu nebo kobaltu a chromkarbidu, nebo Ti-Ti₂Si, Al-Al-Ni, Al-CuAl, WC atd. sinterováním prášků a vnitřní oxidačí. Kompozit je též eutektická slitina, například Al-Si-Al-Ni apod. (obr. 32).

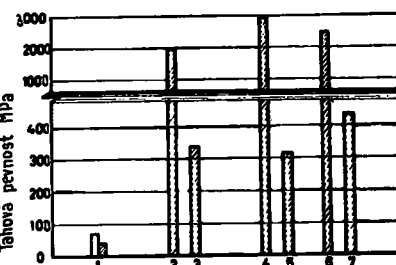
Některé další příklady kompozitů ukazují další obrázky 33 - 25, příklady úspěšných kompozitů obr. 36 a 37.

Jak se vyvíjí vlastnosti a ceny vláken a kompozitů představuje obr. 38.

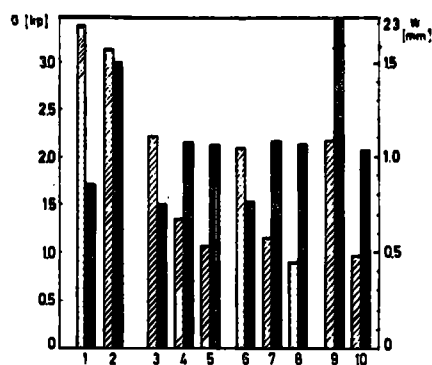


Obr. 32 - Tahová pevnost a specifická pevnost (menní délka) epoxid. pryskyřice využitou 65 obj. % vláken rovnoběžných se směrem zatížení

■ vypočtené hodnoty
□ měření Battelle

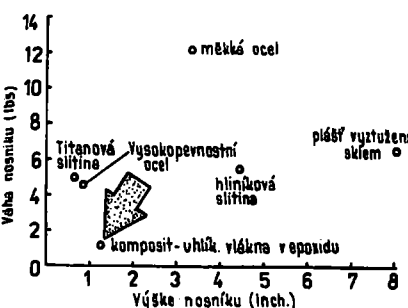


Obr. 33 - Pevnosti kompozitů s matrix ze skla obsahující mikrovlákná $\phi 10\text{--}15 \mu\text{m}$
 1 - ohyb. pevnost křemičitého skla
 2 - tahová pevnost mikrovláken (č. 1)
 3 - ohyb. pevnost matrix z křemičitého skla s 18 % obj. mikrovláken (č. 1)
 4 - tahová pevnost mikrovláken (č. 2)
 5 - ohyb. pevnost matrix z křemičitého skla s 18 % obj. mikrovláken (č. 2)
 6 - tahová pevnost mikrovláken (č. 3)
 7 - ohyb. pevnost matrix z křemičitého skla se 30 % obj. mikrovláken (č. 3)



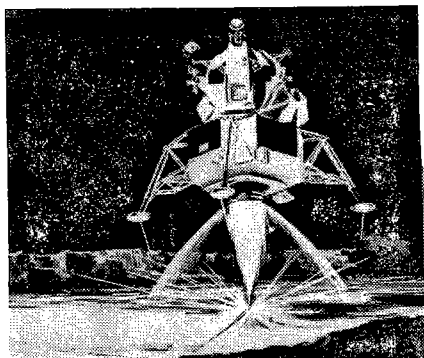
Obr. 34 a - Váha a tloušťka stěny vysokotlakých trub

- 1 - "Maragingová" ocel ($\sigma_c = 2200$ MPa)
- 2 - Titanová slitina ($\sigma_c = 1250$ MPa)
- 3 - Al slitina se 60 % obj. vláken
z Maragingové oceli ($\sigma_c = 4000$ MPa)
(σ_c = pevnost vláken)
- 4 - Al slitina se 60 % obj. boročích
vláken z Maraging. oceli
- 5 - Al slitina se 60 % obj. karbon.
vláken z Maraging. oceli
- 6 - Mg slitina se 60 % obj. vláken
z Maragingové oceli
- 7 - Mg slitina se 60 % obj. boročích
vláken
- 8 - Mg slitina se 60 % obj. karbon.
vláken

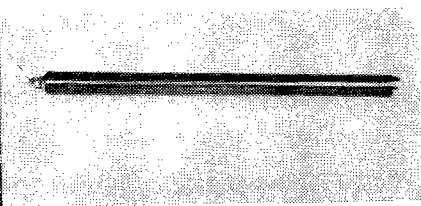


Obr. 34 b - Srovnání šířky a váhy nosníků 12" dlouhých a 1" širokých navržených pro přenosné střed. křemene 10 000 liber při průběhu 0,10"

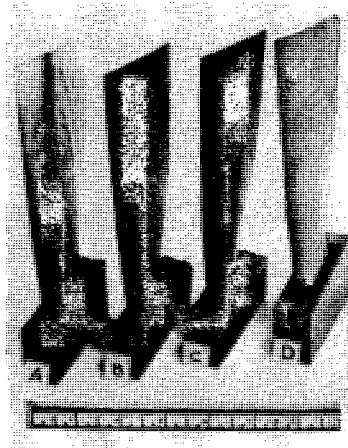
- 9 - Plast se 60 % obj. vláken z E - skla (trvalá pevnost $\sigma_f = 1300$ MPa)
- 10 - Plast se 60 % obj. vláken ze speciálního skla (předpoklad $\sigma_f = 3000$ MPa)



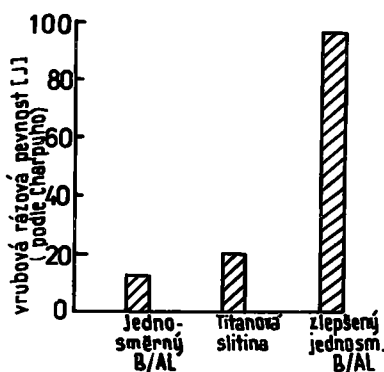
Obr. 35 a - Lunární modul



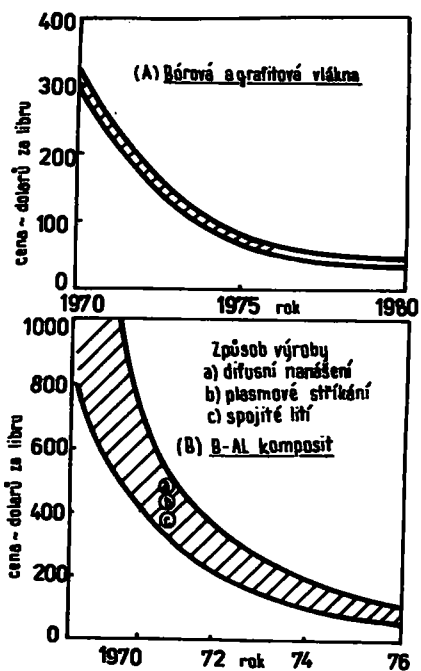
Obr. 35 b - Vzpěry lunárního modulu z bárepoxidového kompozitu



Obr. 36 - Kompressorové lopatky vyrobené z kompozitních materiálů
 A: S-sklo-epoxy
 B: boron-epoxy
 C: S-sklo-epoxy jádro +
 + grafit-epoxy povrch
 D: boron-hliník



Obr. 37 - Vývoj ve zlepšování rázové pevnosti



Obr. 38 - Současné a předpokládané ceny vláken a kompozitů